

## ΑΝΑΚΟΙΝΩΣΕΙΣ ΜΗ ΜΕΛΩΝ

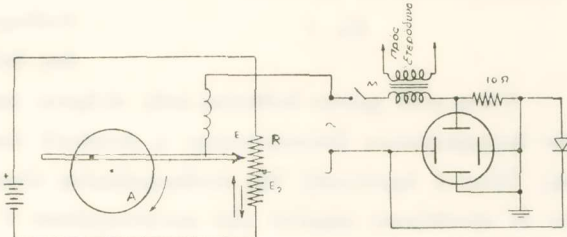
**ΦΥΣΙΚΗ ΗΛΕΚΤΡΙΟΝΤΙΚΗ.** — Παλμογραφική μελέτη τῆς ἀνωμάλου ἀνορθώσεως ἀνορθωτικῶν συστημάτων θειούχου χαλκοῦ, ὑπὸ *Mich. Anastasiadou καὶ Δ. Ilias*\*. Ἀνεκοινώθη ὑπὸ τοῦ κ. Βασ. Αἰγινήτου.

Εἰς παλαιοτέρας ἀνακοινώσεις ὁ ἔτερος ἐξ ἡμῶν ἐμειλέτησε τὸν μηχανισμὸν ἀνορθώσεως τοῦ συστήματος  $Mg/Cu_2S$   $CuS/Pb$  καὶ  $Cu_2S/CuS/Cu$  ὅπως καὶ τὴν ἐπίδρασιν τῆς συχνότητος ἐπὶ τῆς ἀνορθωτικῆς συμπεριφορᾶς τῶν ἀνορθωτικῶν συστημάτων<sup>1)</sup>. Κατὰ τὴν μελέτην ἐκείνην ἀπεδίχθη ὅτι ἐσημειοῦντο χαρακτηριστικά τινα φαινόμενα. ἄτινα λόγῳ τῆς γοργότητος ἐμφανίσεως αὐτῶν διέφευγον τὴν παρατήρησιν. Πρὸς τὸν σκοπὸν πληρεστέρας μελέτης τῶν φαινομένων αὐτῶν ἔξελέξαμεν τὴν ἀπλουστάτην δυνατὴν τῶν διατάξεων ἀνορθώσεως, ἥτοι ἀκίδα ἐφαπτομένην κρυστάλλου φερομένου εἰς κατάλληλον ὑποδοχέα. Τὴν διὰ τοῦ φωρατοῦ τούτου ἀνόρθωσιν ἐμελειήσαμεν παλμογραφικῶς λόγῳ τῆς εὐκινησίας τῆς καθοδικῆς δέσμης ἀφ' ἐνὸς καὶ τῶν εὐχερειῶν ὀργανώσεως τῆς παλμογραφικῆς μεθόδου ἀφ' ἔτερου. Οὕτω διὰ τῆς παλμογραφικῆς μεθόδου ἀναδεικνύονται φαινόμενα, ἄτινα διὰ τῶν συνήθων διατάξεων παρήχοντο ἀπαρατήρητα. Κατὰ τὸν πειραματισμὸν τοῦτον ἔχοησιμοποιήθη διαδοχικῶς κρύσταλλος χαλκοσίνου ( $Cu_2S$ ) καὶ δισκίον ἐκ πεπιεσμένης κόνεως χημικῶς καθαροῦ θειούχου χαλκοῦ ( $CuS$ ). Κατὰ τὴν παλμογραφικὴν ταύτην μελέτην ἐπεχειρήθη ἐν πρώτοις ἥ στατικὴ χάραξις τῆς καμπύλης  $I=f(V)$ , ὅπου  $V$  ἡ τιμὴ τῆς ἐπὶ τοῦ συστήματος ἐφαρμοζομένης συνεχοῦς τάσεως. Παρετηρήθη ὅμως ὅτι ἥ στατικὴ χάραξις τοιαύτης καμπύλης ὁδηγεῖ εἰς ποικιλίαν τιμῶν καὶ εἰς ἀβέβαια ἀποτελέσματα. "Οθεν προετιμήσαμεν ἀντὶ τῆς στατικῆς νὰ χαράξωμεν τὴν δυναμικὴν χαρακτηριστικὴν τοῦ συστήματος ἀλλὰ διὰ τόσον καμηλὰς συχνότητας, ὥστε ἥ οὕτω λαμβανομένη δυναμικὴ χαρακτηριστικὴ νὰ συγγενεύῃ καὶ νὰ συμπίπτῃ σχεδὸν πρὸς τὴν στατικήν.

Πρὸς ἐπιτυχίαν τάσεων λίαν καμηλῆς συχνότητος κατεσκευάσθη εἰδικὴ διάταξις, τῆς ὁποίας τὸ γενικὸν διάγραμμα παρέχει ἥ ἀνωτέρω εἰκὼν (σχ. 1).

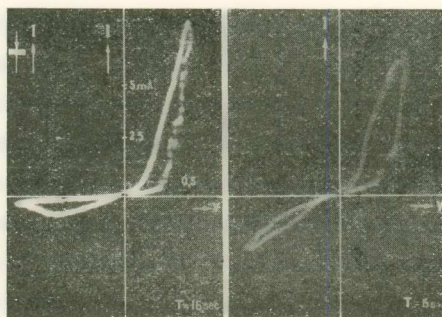
\* MICHEL ANASTASSIADÈS et DÉMÉTRIUS ILIAS, Étude oscillographique de la rectification anormale d'un redresseur à sulfure cuivreux.

<sup>1)</sup> M. Anastassiades, «Sur la double rectification des redresseurs à couche d'arrêt», Πρακτικὰ Ακαδημίας Αθηνῶν 9 (1934) 336 κ. ἐξ.



Σχ. 1.

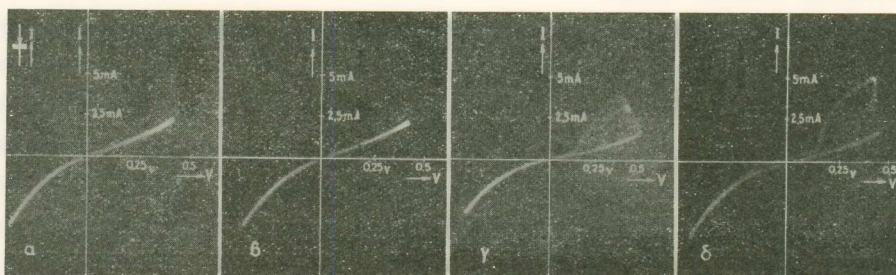
Ἡ βραδεῖα κίνησις τοῦ τυμπάνου A, τὸ δόποιον προκαλεῖ τὴν παλινδρομικὴν κίνησιν τῆς ἐπαφῆς E<sub>1</sub> ἐπὶ τῆς ἀντιστάσεως R, ἐρρυθμίζετο διὰ συστήματος μηχανικοῦ ὑποπολλαπλασιασμοῦ μεταβλητῆς γωνιώδους ταχύτητος, δημιουργούμενης οὕτω ἐναλλασσομένης τάσεως λίαν χαμηλῆς συχνότητος.



Εἰκ. 2

Τὸ κύκλωμα συνδεσμολογίας πρὸς τὸν παλμογράφον παρίσταται ἐπίσης ὑπὸ τῆς αὐτῆς εἰκόνος. Διὰ τῆς μεθόδου ταύτης ἔχαράχθησαν αἱ σχεδὸν στατικαὶ καμπύλαι τοῦ ἀνορθωτικοῦ συστήματος οἵαὶ αἱ τῆς εἰκόνος 2. ባ εἰκὼν αὕτη δὲν ἐπιτυγχάνεται παρὰ μόνον τῇ βοηθείᾳ φωτογραφικῆς διατάξεως ἀποτυπούσης προοδευτικῶς τὰς διαδοχικὰς θέσεις τῆς φωτεινῆς κηλίδος ἐπὶ τῆς ὁδόνης.

Οὕτω μετὰ χρόνον ἐκμέσεως μιᾶς πλήρους περιόδου διαρκείας συνήθως πολῶν δευτεροπτων ἀναπαρίσταται ἡ συνολικὴ εἰκὼν τῆς στατικῆς χαρακτηριστικῆς. Τέλος ἡ δογάνωσις τῆς συνδεσμολογίας εἶναι τοιαύτη, ὥστε νὰ εἶναι δυνατὸν δι' οἰονδήποτε σημείον τῶν συντεταγμένων V καὶ I νὰ ἐπιπροστίθεται μέσω τοῦ μετασχηματιστοῦ M μικρὰ ἐναλλασσομένη τάσις πολὺ ὑψηλοτέρας συχνότητος,

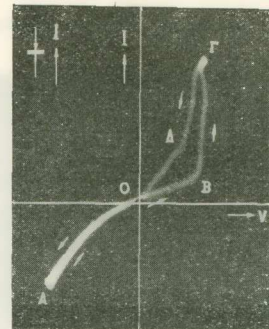


Εἰκ. 3.

ώστε νὰ καθίσταται δυνατὴ ἡ σπουδὴ τῆς δυναμικῆς χαρακτηριστικῆς εἰς τὰς μᾶλλον ἐνδιαφερούσας περιοχὰς τῆς σχεδὸν στατικῆς καμπύλης.

Ἡδη ἀπὸ τῶν πρώτων πειραματισμῶν ἀπεδείχθη τὸ ἀκόλουθον οὐσιῶδες σημεῖον: ἡ λαμβανομένη χαρακτηριστικὴ ἀνορθώσεως παρουσιάζετο κανονικὴ καὶ ἄνευ ἴδιαιτέρων ἀνωμαλιῶν ἐξ ὑστερήσεως ὡς συνήθης χαρακτηριστικὴ ἀνορθωτοῦ, ἐφ' ὅσον δὲν ὑπερέβαινε τις ὡς ἔγγιστα τὴν τιμὴν ἐναλλασσομένης τάσεως 0,3V (εἰκ. 3α, 3β).

Ἡ εὔκολος διάβασις τοῦ φεύγοντος διὰ τὴν περιοχὴν ταύτην κάτω τῶν 0,3V ἥτο ἀπὸ τῆς ἀκίδος πρὸς τὸν ἡμιαγωγόν, ἀπολύτως ταυτόσημος δηλονότι πρὸς τὴν ἀντίστοιχον φορὰν εὐκόλου διαβάσεως τοῦ Ge. Οὕτως ἀποδεχόμεθα διὰ τὰ χαμηλὰ ταῦτα δυναμικὰ ἀγωγιμότητα τύπου N, ἥτοι κίνησιν ἡλεκτρονίων καὶ οὐχὶ ὅπῶν. Αὖξανομένου τοῦ δυναμικοῦ πέραν τῆς κρισίμου τιμῆς τῶν 0,3V (εἰκ. 3γ καὶ 3δ), παρατηρεῖται χαρακτηριστικὴ ἀναστροφὴ συμπεριφορᾶς. Τὸ ἀνορθωτικὸν σύστημα παρουσιάζει φορὰν εὐκόλου διαβάσεως τοῦ φεύγοντος ἀντίθετον τῆς προηγουμένης, ἥτοι ἀπὸ τοῦ ἡμιαγωγοῦ πρὸς τὴν ἀκίδα, ἥτις χαρακτηρίζει ἡμιαγωγοὺς μὲ ἀγωγιμότητα τύπου P. Ἀπὸ τῆς στιγμῆς ταύτης καὶ ἐπέκεινα, ἥτοι διὰ δυναμικὰ ἀνώτερα τῶν 0,3V, τὰ παλιμογραφήματα χάνοντα τὴν δύμαλήν ἀντῶν ἐμφάνισιν παρουσιάζοντα λίαν χαρακτηριστικὰς περιοχὰς ὑστερήσεως, ἥτοι τιμὰς ἐντάσεως δι' ἀνερχόμενα δυναμικὰ μικροτέρας ἢ διὰ τὰ κατερχόμενα (εἰκ. 4). Ἡ συμπεριφορὰ αὗτη ὑστερήσεως μελετηθεῖσα δι' ἄλλα ἀνορθωτικὰ συστήματα καὶ ὑπὸ ἄλλων ἐρευνητῶν<sup>1)</sup> ἀπεδόθη εἰς δευτερογενῆ θερμοηλεκτρικὰ ἢ θερμοχημικὰ φαινόμενα ἀδρανείας. Ἡ ὑστέρησις αὕτη συνδέεται μὲ δύο ἄλλα ἀκόμη χαρακτηριστικὰ φαινόμενα, ἀφ' ἐνὸς τὸν ἔρπυσμὸν καὶ ἀφ' ἐτέρου τὴν ἐμφάνισιν ἀρνητικῆς ἀντιστάσεως. Τόσον τὴν ὑστέρησιν ὅσον καὶ τὰ δύο ἐτερα φαινόμενα ἐμελετήσαμεν συστηματικῶς διὰ τῆς παλιμογραφικῆς μεθόδου ὡς ἔπειται:



Eἰκ. 4.

## Γ Σ Τ Ε Ρ Η Σ Ι Σ

Ἡ ὑστέρησις συνοδεύει πάντοτε τὴν ἀνόρθωσιν κατὰ τὴν φορὰν ἡμιαγωγὸς – μέταλλον, οὐχὶ σπανίως δὲ καὶ τὴν ἀνόρθωσιν κατὰ τὴν φορὰν μέταλλον – ἡμιαγωγός (εἰκὼν 2).

Συγκρινόμενοι ἀπὸ πλευρᾶς ἐμβαδοῦ οἱ κατὰ τὰς δύο διευθύνσεις λαμβανόμενοι βρόχοι ὑστερήσεως παρουσιάζοντα εὐρὺ ἐμβαδὸν κατὰ τὴν ὁρθὴν φορὰν (ἡμιαγωγὸς – μέταλλον) καὶ πολὺ πλέον ἡλαττωμένον κατὰ τὴν ἀντίθετον φοράν.

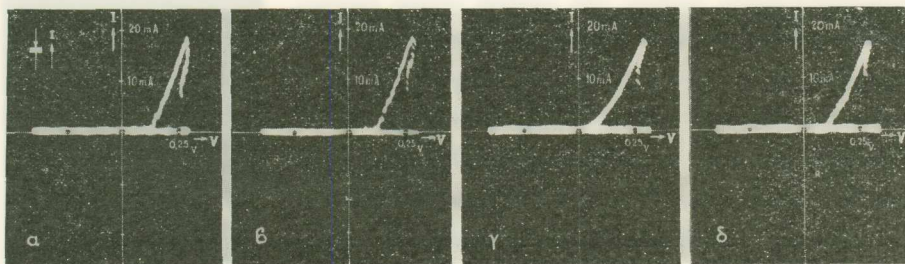
Οἱ διαγραφόμενοι βρόχοι ὑστερήσεως καθὼς καὶ τὰ σύνδρομα πρὸς αὐτὴν φαινόμενα τοῦ ἔρπυσμοῦ καὶ τῆς ἀρνητικῆς ἀντιστάσεως ἐμφανίζονται ἀπὸ τινος δυναμικοῦ κρισίμου καὶ ἐπέκεινα, δηλαδὴ μετὰ τὸ δυναμικὸν ἀναστροφῆς.

Ἐκ τῆς διαθεσίμου βιβλιογραφίας συνάγομεν ὅτι φαινόμενα ὑστερήσεως ἀνα-

<sup>1)</sup> A. Braun et G. Busch, Helv. Phys. Acta, vol. 15, 1942, p. 571.

φέρονται καὶ διὰ τὸ Ge καὶ τὸ Se, ὅπου κατ' ἀνάλογον τρόπον ἡ ὑστέρησις ἐμφανίζεται ἀπό τυνος δυναμικοῦ καὶ ἐπέκεινα καὶ δὴ κατὰ τὴν φορὰν ἡμιαγωγὸς - μέταλλον. Αἱ παρεχόμεναι ἔξηγήσεις ἐπὶ τῆς ὑστερήσεως ταύτης τοῦ Ge καὶ τοῦ Se ἀποδιδόμεναι εἰς μίαν οἰονεὶ ἀποκάθαρσιν τοῦ ἀνασταλτικοῦ στρώματος δὲν κρίνονται ὡς πειστικαί<sup>1)</sup>. Κάτω τοῦ κρισίμου δυναμικοῦ ἀναστροφῆς ὑστέρησις δὲν ὑφίσταται.

Συνάγομεν συνεπῶς ὅτι ἡ ἀλλαγὴ φορᾶς, ἡ ὑστέρησις καὶ τὰ σύνδρομα πρὸς αὐτὴν φαινόμενα τοῦ ἕρπυσμοῦ καὶ τῆς ἀρνητικῆς ἀντιστάσεως ἀποτελοῦν συνάρτησιν τοῦ δυναμικοῦ ἀναστροφῆς ἐμφανιζόμενα ἀπὸ τῆς κρισίμου ταύτης τιμῆς καὶ ἐπέκεινα. Ἡ παρατήρησις αὗτη ὁδηγεῖ εἰς τὸ νὰ δεχθῶμεν ὅτι ὀφείλει νὰ συν-



Εἰκ. 5.

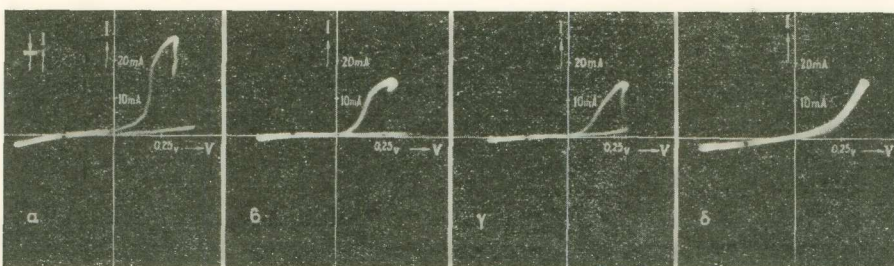
δυνασθῆ πρὸς τὸν οἰονδήποτε μηχανισμὸν ἀνορθώσεως καὶ ἔτερος συμπαρομαρτῶν μηχανισμὸς ἐξ ἀλλης αἰτίας, εἰς τὸν δροῦν καὶ ὀφείλονται τὰ ἀνωτέρῳ φαινόμενα· τοῦτο δὲ διότι οὐδεμίᾳ τῶν ἐν ἴσχυι θεωριῶν ἐρμηνεύσεως τῶν ἀνορθωτικῶν φαινομένων (Mott, Schottky κλπ.) δέχεται ὅτι αὐξανομένου τοῦ δυναμικοῦ ἐπέρχεται τοιαύτη φιλικὴ μεταβολὴ τῆς συστάσεως τοῦ ἡμιαγωγοῦ, ὥστε οὕτος νὰ μεταπίπτῃ ἀπὸ τύπου N εἰς τύπον P, νὰ ἐμφανίζῃ ὑστέρησιν κλπ.

Ὦς ἐμφαίνεται ἀπὸ τὰ παλμογραφήματα τῆς εἰκ. 5 (α,β,γ,δ) τὸ δυναμικὸν ἀναστροφῆς ἐπιβραδύνεται χαρακτηριστικῶς αὐξανομένης τῆς συχνότητος. Ἡ τοιαύτη ἐπιβράδυνσις παρετηρήθη δικαιολογηθεῖσα καὶ παλαιότερον διὰ συχνότητας ἀπὸ 100 - 2000 c.s<sup>2)</sup>). Καὶ εἰς τὴν παροῦσαν μελέτην ἐπηληθεύθη ἡ χαρακτηριστικὴ αὕτη ἐπιβράδυνσις ἀκόμη καὶ διὰ συχνότητας κλάσματος τοῦ κύκλου ὡς ἐμφαίνεται ἐκ τῶν ἀνωτέρω εἰκόνων ἀναφερομένων εἰς περιόδους διαρκείας 2 ι δευτερολέπτων. Ἡ συχνότης φαίνεται ἐπιδρῶσα ἐπὶ τοῦ ἐμβαδοῦ τοῦ βρόχου ὑστε-

<sup>1)</sup> Tesner, «Semi conducteurs électroniques», 1950 p. 60.

<sup>2)</sup> M. Anastasiades, «Sur la double rectification des redresseurs à couche d'arrêt», Πρακτικά Ακαδημίας Αθηνῶν 9 (1934) 336 κ.εξ.

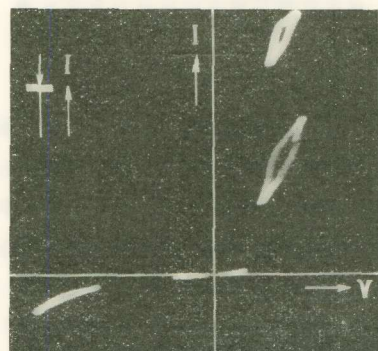
οήσεως. Έσημειώθη πράγματι μείωσις του (μεγίστου) άνορθουμένου ρεύματος διὰ τὰς ήψηλοτέρας συχνότητας έξικνουμένη μέχρι καταργήσεως του βρόχου ήστερησεως ώς σαφῶς έμφαίνεται ἐκ τῆς κατωτέρω εἰκόνος 6 (α,β,γ,δ), ἥτις είκονίζει τὴν μορφὴν τῆς καμπύλης εἰς 25, 250, 2500 καὶ 25000 c/s. Τὸ φαινόμενον συνδέεται στενῶς μὲ τὴν έμφάνισιν καὶ διάρκειαν τῆς ἀρνητικῆς ἀντιστάσεως.



Εἰκ. 6.

Ἐκ τῶν λαμβανομένων παλμογραφημάτων ηστερήσεως δυνάμεθα εὐχερῶς νὰ ἀναγνωρίσωμεν τέσσαρας τοῦλάχιστον διακρίτους περιοχὰς (εἰκὼν 4). Τὸ τμῆμα ΟΑ, ἀντιστοιχοῦν εἰς σύστημα ἀνορθώσεως παρουσιάζον εὐκολὸν διάβασιν κατὰ τὴν φορὰν μέταλλον – ἡμιαγωγός, τὸ τμῆμα ΒΓ, ἔμφανίζον συνήθως σαφεῖς περιοχὰς ἀρνητικῆς ἀντιστάσεως καὶ τέλος τὸ τμῆμα ΓΔΟΑ ἀντιστοιχοῦν εἰς ἀνορθωτικὸν σύστημα μὲ εὐκολὸν διάβασιν κατὰ τὴν φορὰν ἡμιαγωγὸς μέταλλον. Ἡ μορφὴ τῆς χαρακτηριστικῆς ἐνθυμίζει τὴν ἐπιτυγχανομένην ὑπὸ συστήματος ἐκ δύο φωρατῶν συνδεσμολογημένων ἐν σειρᾷ καὶ ἐν ἀντιθέσει καὶ τῶν δύοιων ἡ ἀνορθωτικὴ ἴκανότης εἶναι διάφορος καὶ ἀντίστροφος. Ἡ συνένωσις τῶν δύο αὐτῶν στατικῶν χαρακτηριστικῶν συστημάτων ἀντιστρόφου δράσεως τελεῖται διὰ τοῦ τμήματος χαρακτηριστικῆς ἀρνητικῆς ἀντιστάσεως.

Διὰ τὴν μελέτην τῆς λεπτῆς ὑφῆς του βρόχου ηστερήσεως ἐφηρμόσθη ἡ σύνθετος μέθοδος, ἥτοι χάραξις τῆς δυναμικῆς χαρακτηριστικῆς περὶ ὀρισμένον σημεῖον τῆς στατικῆς καμπύλης. Οὕτω ρυθμίζοντες τὸ ἀνορθωτικὸν σύστημα νὰ λειτουργῇ εἰς ἐν οἰονδήποτε σημεῖον τῆς καμπύλης ΟΑ καὶ ΟΒ καὶ ἐφαρμόζοντες βοηθητικὴν ἐναλλασσομένην τάσιν μέσω τοῦ μετασχηματιστοῦ Μ (εἰκ. 1) ὑψηλὸ-

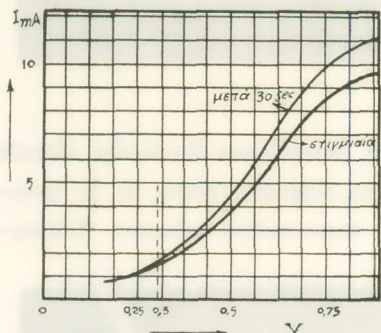


Εἰκ. 7.

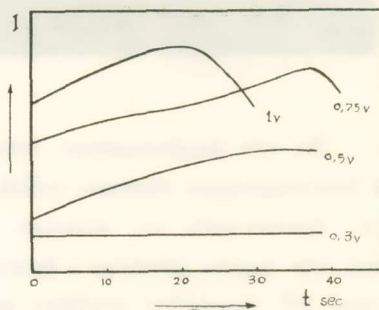
τέρας συχνότητος ούδεν φαινόμενον ύστερήσεως σημειούμεν <sup>2</sup>. Από τοῦ σημείου δύμας Β, ἀντιστοιχούντος εἰς τὰ ἀνερχόμενα δυναμικὰ καὶ ἐπέκεινα, ἡτοι καθ' ὅλην τὴν διαδρομὴν ΒΓΔ, ἐμφανίζονται διὰ πᾶν σημείον αὐτῆς χαρακτηριστικοὶ βρόχοι ύστερήσεως (εἰκὼν 7), τῶν ὅποιων τὸ ἐμβαδὸν εἶναι τόσον μεγαλύτερον ὅσον ἡ ἐντασίς τοῦ ἀνορθομένου φεύγματος εἶναι μικρότερο.

### ΕΡΡΥΣΜΟΣ

Διὰ τοῦ ὅρου τούτου ἐννοοῦμεν τὴν βραδεῖαν ἢ γοργὴν ἀποκατάστασιν τῆς ἐντάσεως τοῦ φεύγματος εἰς τὴν τελικήν τῆς τιμῆν διὰ δοθεῖσαν σταθερὰν τάσιν. Ὁ ἔργουσμὸς ἐμελετήθη διὰ τὸν Cu<sub>2</sub>S ὑπὸ τῶν Dunaev καὶ Kurtchatov <sup>1)</sup>.



Σχ. 8.



Σχ. 9.

Οὗτοι ἀναφερόμενοι μόνον εἰς τὴν δρθὴν φορὰν διεπίστωσαν ὅτι σημειοῦται θετικὸς ἔργουσμός, ἡτοι αὐξησις τῆς τιμῆς τῆς ἐντάσεως τοῦ φεύγματος συναρτήσει τοῦ χρόνου. Ἐκ τῶν δημοσιευμένων παρ' αὐτῶν καμπύλων ἐμφαίνεται σαφὴς διάκρισις τῆς χαρακτηριστικῆς τάσεως-ἐντάσεως ληφθείσης στιγμιαίως καὶ τῆς χαρακτηριστικῆς ἡτοι ἐλήφθη μετά παρελευσιν 30 sec. Κατὰ τὰ πειράματα ἡμῶν ἐπὶ τοῦ αὐτοῦ φαινομένου ἐπηληθεύθη ἡ ὁς ἀνω μορφὴ τῆς καμπύλης (εἰκ. 8) καὶ ἐπεξετάθη πρὸς τὴν ἀντίστροφον φορὰν ὃπου ἐσημειώθη ἀρνητικὸς ἔργουσμός (εἰκ. 9). Ἀναλυτικώτερον παρατηροῦμεν ὅτι τόσον κατὰ τὰς μετρήσεις τῶν Dunaev καὶ Kurtchatov ὅσον καὶ κατὰ τὰς ἡμετέρας δὲν σημειοῦται ἔργουσμὸς κατὰ τὴν δρθὴν φορὰν κατω τῆς τιμῆς τοῦ δυναμικοῦ ἀναστροφῆς. Ἀνω τῆς τιμῆς ταύτης ὁ σαφὴς ἔργουσμὸς δύναται ἐν τινὶ μέτρῳ νὰ δικαιολογήσῃ τὰ παρατηρούμενα φαινόμενα ύστερήσεως. Σημειωτέον ὅτι ἡ παρατήρησις αὗτη ἔρχεται φαινομενικῶς εἰς ἀντίθεσιν πρὸς τὴν διαπιστωθεῖσαν μείωσιν τοῦ ἐμβαδοῦ τῆς ύστερήσεως, αὐξανομένης τῆς συχνότητος.

<sup>1)</sup> Dunaev and Kurtchatov, «Sulphide rectifiers» J. Tech. Phys. U.S.S.R. 10, 1937.

Τοῦτο ǒμως ἀποδοτέον ἀφ' ἐνὸς μὲν εἰς τὴν συμπαραγμάτοῦσαν δρᾶσιν τῆς ἀρνητικῆς ἀντιστάσεως, ἀφ' ἑτέρου δὲ εἰς τοὺς κατὰ πολὺ βραχυτέρους χρόνους τοῦ ἔφαρμοζούμενου δυναμικοῦ ὑψηλῆς συχνότητος μέσῳ τοῦ μετασχηματιστοῦ M. Ή παρατήρησις ἡμῶν κατὰ τὴν ἀνάστροφον φορὰν σημειοῖ ἐπίσης ἐρυθρόν, δικαιολογεῖ συνεπῶς καὶ ἐδῶ τὰ φαινόμενα ὑστερήσεως. Καὶ εἰς τὴν περίπτωσιν ταῦτην δὲν ὑπάρχει ἐρυθρόν διὰ δυναμικόν τι κάτω τοῦ κρισίμου.

<sup>1</sup>Ἐκ τῆς διαθεσίμου βιβλιογραφίας οὐδὲν πειστικὸν ἐπὶ τοῦ φαινομένου τούτου συνάγεται. Εἰς προσεχῆ ἀνακοίνωσιν ἐπιφυλασσόμεθα, ἐπεξεργαζόμενοι καὶ συμπληροῦντες τὸ πειραματικὸν ἡμῶν ὑλικόν, νὰ δώσωμεν τὴν εἰκόνα τοῦ ἐν προκειμένῳ μηχανισμοῦ. Μεταξὺ τῶν ὑπὸ ἐπεξεργασίαν στοιχείων κατατάσσεται καὶ ἡ παρατήρησις ὅτι κατὰ τὴν ἀνάστροφον φορὰν ὁ παρατηρούμενος θετικὸς ἐρυθρός μεταπίπτει ἀπό τίνος χρονικῆς στιγμῆς εἰς ἀρνητικὸν (εἰκὼν 9). Τὸ ἀνωτέρω φαινόμενον λαμβάνει χώραν διὰ δυναμικὰ μεγαλύτερα τοῦ 0,7V καὶ ἡ μετάπτωσις αὗτη ἐπισπεύδεται καθ' ὅσον αὗξανεται τὸ ἔφαρμοζόμενον ἀνάστροφον δυναμικόν.

#### ΑΡΝΗΤΙΚΗ ΑΝΤΙΣΤΑΣΙΣ

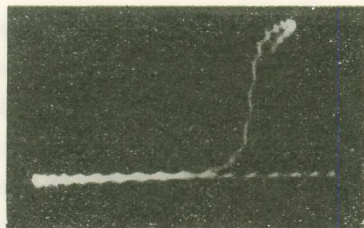
Ἡ ἐμφάνισις ἀρνητικῆς ἀντιστάσεως διὰ πρώτην φορὰν ἀναφέρεται παρ<sup>2</sup> ἡμῶν διὰ τὸ ὑπὸ μελέτην ἀνορθωτικὸν σύστημα θειούχου χαλκοῦ. Ο Benzer<sup>1)</sup> ἐμελέτησε διεξοδικῶς τὸ φαινόμενον εἰς τοὺς φωρατὰς Ge ὑψηλῆς ἀναστρόφου τάσεως ἀποδώσας τὴν ἀπότομον ἐκδήλωσιν ηὑξημένης ἐσωτερικῆς ἀγωγιμότητος ὡς ὀφειλομένην εἰς τὰς ὑψηλὰς θερμοκρασίας ἐπαφῆς, ἀντιστοιχούσας εἰς τὸ τιμῆμα ἀρνητικῆς ἀντιστάσεως τῆς στατικῆς χαρακτηριστικῆς.

Τὸ πρώτην Torrey<sup>2)</sup>) παρετηρήθη ὅτι ἡ ὑπόθεσις τοῦ Benzer εἶναι ἔλλιπής, διότι οὕτος δὲν λαμβάνει ὑπ' ὅψιν του τὴν θερμικὴν ἀγωγιμότητα τῆς ἀκίδος. Οἱ ὑπολογισμοὶ τοῦ Goodman ἐπὶ τοῦ θέματος, συνυπολογίζοντος καὶ τὴν δρᾶσιν τῆς ἀκίδος, δὲν ὀδηγοῦν πάντως εἰς σαφῆ ἀποτελέσματα. Διὰ τὸν προσδιορισμὸν τοῦ χρονικοῦ διαστήματος κατὰ τὸ δροῦν τὸ ἀνορθωτικὸν σύστημα ἐμφανίζεται μὲν ἀρνητικὴν ἀντίστασιν καταφεύγομεν εἰς τρεῖς διαδοχικὰς μεθόδους. Η πρώτη ἔξ αὐτῶν συνίσταται εἰς τὴν διαμόρφωσιν τῆς φωτεινότητος τῆς καθοδικῆς δέσμης τοῦ παλμογράφου ὑπὸ διαμορφούστης ὑψηλῆς συχνότητος, ὥστε τὸ λαμβανόμενον παλμογράφημα νὰ ἐμφανίζῃ εἰκόνα διαμορφωμένου κατὰ πλάτος κύματος συνισταμένου ἀπὸ διαδοχικὰ σκοτεινὰ διαστήματα (εἰκ. 10). Η χρονικὴ ἀπόστασις

<sup>1)</sup> Benzer, «The High Voltage Germanium Rectifiers», NDRC 14 - 375 Purdue Univ Dec. 26, 1944.

<sup>2)</sup> Torrey, «Crystal Rectifier» Torrey and Whitmer Mc Graw - Hill.

μεταξὺ δύο σκοτεινῶν διαστημάτων εἶναι ἵση μὲ τὴν περίοδον τῆς διαμορφούσης συχνότητος. Οὗτω, ἐὰν ἡ διαμορφοῦσα συχνότης ἔχῃ ἐκλεγεῖ καταλλήλως, ἐπιτέπει νὰ προσδιορισθῇ ἡ χρονικὴ διάρκεια τῆς ὑπὸ μορφὴν σχεδὸν σκοτεινῆς ἀσυνεχείας ἐμφανιζομένης ἀρνητικῆς ἀντιστάσεως. Τὰ διὰ τῆς μεθόδου ταύτης λαμβανόμενα ἀποτελέσματα δίδουν τιμὰς χρόνου μικροτέρας τῶν  $10^{-4}$  sec.

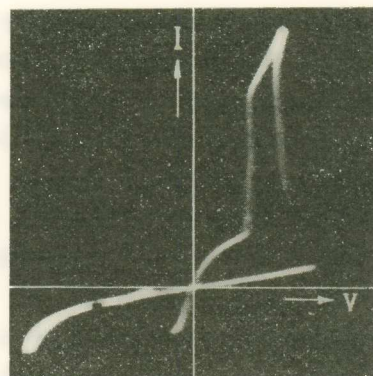


Εἰκ. 10.

Ἐτέρᾳ ἀκριβεστέρᾳ μέθοδος συνίσταται εἰς τὴν διαμόρφωσιν τῆς ἀρχικῶς ἐφαρμοζομένης τάσεως χαμηλῆς συχνότητος δι<sup>2</sup> ἐτέρᾳς τάσεως ὑψηλῆς συχνότητος καὶ μικροῦ πλάτους. Τοῦτο ἐπιτυγχάνεται διὰ τῆς ἐπιπροσθήκης τοῦ διαμορφοῦντος δυναμικοῦ ὑψηλῆς συχνότητος εἰς τὰ πλακίδια δριζοντίου ἀποκλίσεως τοῦ παλμογράφου. Ἡ λαμβανομένη παλμογραφικὴ εἰκὼν θὰ ὠφειλε νὰ παρουσιάζῃ τὴν

διαμόρφωσιν αὐτὴν τῆς ὑψηλῆς συχνότητος καθ<sup>2</sup> ὅλην τὴν διαδρομὴν τῆς καμπύλης. Λόγῳ ὅμως τῆς μεγάλης διαφορᾶς τῶν συχνοτήτων, διαμορφούσης καὶ διαμορφουμένης, ἀναδεικνύεται αὕτη μόνον ἐπὶ τῆς περιοχῆς ἀρνητικῆς ἀντιστάσεως παρουσιάζουσα ἐκεῖ τὸ ἀνάπτυγμα μιᾶς πλήρους περιόδου, ὅταν ὁ χρόνος διαρκείας τῆς ἀρνητικῆς ἀντιστάσεως συμπίπτῃ μὲ τὴν περίοδον τῆς διαμορφούσης ὑψηλῆς συχνότητος. Ἡ φωτογραφικὴ ἀπεικόνισις τοῦ παλμογραφήματος ἐν προκειμένῳ εἶναι δυσχερής. Οἱ ἐκ τῆς παρατηρήσεως προσδιορισμέντες χρόνοι εἶναι τάξεως  $10^{-5}$  sec.

Τοίτη τέλος μέθοδος συνίσταται εἰς τὴν αὔξησιν τῆς συχνότητος, ὥστε νὰ ἐπιτευχθῇ παλμογράφημα ἄνευ βρόχου ὑστεροήσεως (εἰκ. 6). Καὶ οἱ διὰ τῆς μεθόδου ταύτης προσδιορισμέντες χρόνοι διαρκείας τῆς ἀρνητικῆς ἀντιστάσεως εἶναι τῆς τάξεως  $10^{-5}$  sec ὅπως καὶ κατὰ τὴν προηγούμενην μέθοδον. Οἱ χρόνοι οὗτοι συμπίπτουν χαρακτηριστικῶς μὲ τοὺς ὑπὸ τοῦ Benzer<sup>1)</sup> προσδιορισθέντας εἰς τὴν περίπτωσιν τοῦ Ge. Ἡ μελέτη τῆς λεπτῆς ὑφῆς τῆς περιοχῆς ἀρνητικῆς ἀντι-



Εἰκ. 11.

Ἀρνητικὴ ἀντίστασις ἐμφανίζεται οὐχὶ σπανίως καὶ κατὰ τὴν ἀνάστροφον φοράν.

<sup>1)</sup> Benzer, «The high Voltage Germanium Rectifier» NDRC Report: Purdue University 14 - 342.

στάσεως ἀποδεικνύει ὅτι ἡ μετάπτωσις ἀπὸ μιᾶς τιμῆς ἐντάσεως εἰς ἄλλην δὲν εἶναι συνεχὴς ἀλλὰ γίνεται κατὰ κλιμακώσεις σχηματιζόμενων πολλῶν ἐνδιαμέσων τιμημάτων ἀρνητικῆς ἀντιστάσεως σχηματιζόντων τὴν συνολικὴν εἰκόνα. Τὸ τιμῆμα ΒΓ τῆς εἰκόνος 4 ἐπὶ παραδείγματι ἀπαρτίζεται λεπτομερῶς ἐξεταζόμενον ἀπὸ πλῆθος μικρῶν τιμημάτων ἀρνητικῆς ἀντιστάσεως.

#### ΣΥΜΠΕΡΑΣΜΑ

<sup>3</sup>Ἐκ τῆς ἀνωτέρω παλμογραφικῆς μελέτης τοῦ ὀρυκτοῦ χαλκοσίνου καὶ δισκίου ἐκ κόνεως καθαροῦ θειούχου χαλκοῦ CuS συνάγομεν τὰ κάτωθι συμπεράσματα.

1. Ὄτι τὰ ἀνορθωτικὰ ταῦτα συστήματα ἀνορθώνοντυν κατὰ τὴν φορὰν μεταλλον – ἡμιαγωγὸς μέχρι κοισίμου τινὸς τιμῆς δυναμικοῦ ἵσης περίπου πρὸς 0,3V. Κατὰ τὴν ἀνόρθωσιν ταύτην οὐδεμία ἐμφανίζεται ἀνωμαλία ἐξ ὑστερήσεως, ἀρνητικῆς ἀντιστάσεως ἢ ἐρπυσμοῦ.

2. Ὅπερβαίνοντες τὴν κρίσιμον τιμὴν τῶν 0,3V ἀναδεικνύομεν ἐν πρώτοις ἀναστροφὴν τῆς φορᾶς τοῦ ἀνορθούμενου ρεύματος, συνοδευομένην ἀπὸ χαρακτηριστικὰ φαινόμενα ὑστερήσεως, ἐρπυσμοῦ καὶ ἀρνητικῆς ἀντιστάσεως.

3. Ὁ ἐρπυσμὸς διεπιστώθη ὅτι δὲν σημειοῦται μόνον κατὰ τὴν ὀρθὴν φορὰν ἀλλὰ καὶ κατὰ τὴν ἀνάστροφον. Δυνατὸν δὲ ἐρπυσμὸς οὗτος ἀπό τινος δυναμικοῦ καὶ ἄνω νὰ μεταπέσῃ ἀπὸ θετικοῦ εἰς ἀρνητικὸν συναρτήσει τοῦ χρόνου.

4. Οἱ βρόχοι ὑστερήσεως μειοῦνται κατ' ἐμβαδὸν αὐξανομένης τῆς συχνότητος.<sup>4</sup> Ή μείωσις αὕτη δύναται νὰ φθάσῃ μέχρι καταργήσεως τῶν βρόχων, ὅταν ἡ συχνότης εἶναι πολὺ ὑψηλή.

5. Αἱ περιοχαὶ ἀρνητικῆς ἀντιστάσεως διαρκοῦν ἐπὶ χρόνον περίπου ἵσον πρὸς  $10^{-5}$  sec.<sup>5</sup> Ἐν ἀντιθέσει πρὸς τὸ Ge καὶ τοὺς λοιπὸὺς ἀνορθωτὰς οἵτινες ἔμελετήθησαν ἀπὸ τῆς πλευρᾶς ταύτης, δὲ ἀνορθωτὴς θειούχου χαλκοῦ ἐμφανίζει ἀρνητικὴν ἀντίστασιν διὰ τάσεις κατὰ πολὺ μικροτέρας. Ή παρατήρησις ἔχει ἴδιαζουσαν ἀξίαν διὰ τὴν δικαίωσιν τῶν θεωριῶν, αἵτινες ἀποδέχονται τὴν ὑπαρξίν καὶ συμπεριφορὰν ἀνασταλτικοῦ στρώματος εἰς τὰ ἀνορθωτικὰ συστήματα.

6. <sup>3</sup>Ἐκ τῆς γενικῆς μελέτης τῶν ἀνορθωτικῶν συστημάτων προκύπτει ἡ ὑπόθεσις ὅτι πᾶν ἀνορθωτικὸν σύστημα ἀρχεται ἀνορθοῦν κατὰ τὴν μίαν φορὰν, ἀκολούθως δὲ ἡ δρᾶσις του ἀναστρέφεται. <sup>4</sup>Ἐξαρτᾶται ἀπὸ τὴν φύσιν τοῦ ἡμιαγωγοῦ (τύπος N ἢ P καὶ λοιπὰ φυσικαὶ ἴδιότητες) ἡ ἀρχικὴ φορὰ ἀνορθώσεως ὅπως καὶ ἡ τιμὴ τοῦ κρισίμου δυναμικοῦ ἀναστροφῆς.

## RÉSUMÉ

Les auteurs ont entrepris une étude oscillographique du système redresseur metal — chalcosine et metal — poudre comprimé de CuS chimiquement pur.

Les résultats de cette étude peuvent se résumer de la façon suivante:

1. Les redresseurs au chalcosine ou au CuS redressent dans le sens métal - semi conducteur jusqu'à une valeur critique de la d. d. p. appliquée ( $\sim 0,3$  Veff.). Ensuite leur sens du courant moyen redressé s'inverse. Jusqu'à la valeur critique aucun phénomène d'ysterésis, de résistance négative, ou de trainage du courant ne se remarque.

2. La valeur critique dépassée et après inversion du courant redressé on remarque une hystérésis bien caractéristique suivie d'une résistance négative et d'un trainage.

3. Le trainage se remarque dans les deux sens du courant. Il est possible d'observer à partir d'une d. d. p. la transformation en fonction du temps du trainage positif en trainage négatif.

4. Les boucles d'hysteresis diminuent quand on augmente la fréquence jusqu'à leur disparition pour une fréquence élevée.

5. Les régions de la résistance négative apparaissent pour un temps approximativement égal à  $10^{-5}$  sec. Contrairement au germanium et les autres systèmes redresseurs, la résistance négative du système au sulfure cuivreux s'observe pour un d.d.p. bien moindre. En se basant sur ce fait on peut justifier les théories qui expliquent les phénomènes du redressement en admettant la formation d'une couche d'arrêt.

6. Suivant l'étude générale de ces systèmes on peut admettre l'hypothèse que tout système redresseur commence à la température ordinaire par redresser dans un sens et puis dans le sens contraire.

Le sens du redressement et la d. d. p. d'inversion dépend uniquement de la nature du semi-conducteur (type N ou P).